

## ストークス波の適用限界について

正員 佐伯 浩\*  
 正員 ○泉 澄\*\*  
 学生員 新井 泰澄\*\*\*  
 学生員 花安 繁郎\*\*\*

## §1. 緒論

ストークス波理論は、Stokesにより導びかれてから、その後、数多くの、この種の有限振幅波理論が研究されてきた。ストークス波理論は、波形勾配( $H/L$ )が急で、水粒子軌道がだ円形を描きつつ前進することから、海の波の浅水領域の波に一致する。

この研究では、理論の妥当性と、計算の便利さから、Skjelbreiaと田中のストークス波理論を用いて、ストークス波の碎波限界、Inflection pointの発生限界を調べ、理論の適用限界と級数解の収束の具合を調べた。また、両理論の波頂高の計算を行ない、実験値との比較を行なった。

本研究では適用限界を、理論それ自体の適用限界と、もう一つは、実測値と理論値を比較し、理論が実測値に対して適用できる範囲を適用限界とする、という二通りの適用限界について調べた。

## §2. Skjelbreia の理論

Skjelbreiaの求めた第3近似ストークス波理論は座標を(Fig. 1)のようにとり計算された。その結果、波形は(1)式で示される。

$$\eta = a \cdot \cos \theta + \frac{\pi}{L} \cdot a^2 \cdot f_2\left(\frac{d}{L}\right) \cdot \cos 2\theta + \left(\frac{\pi^2}{L}\right) \cdot a^3 f_3\left(\frac{d}{L}\right) \cos 3\theta \quad (1)$$

ここで、 $f_2\left(\frac{d}{L}\right)$ ,  $f_3\left(\frac{d}{L}\right)$  はそれぞれ、水深波長比  $d/L$  の函数で次式のように表わされる。

$$f_2\left(\frac{d}{L}\right) = \frac{\cosh \frac{2\pi d}{L} \cdot (\cosh \frac{4\pi d}{L} + 2)}{2 \left( \sinh \frac{2\pi d}{L} \right)^3} \quad (1-1)$$

$$f_3\left(\frac{d}{L}\right) = \frac{3}{16} \cdot \frac{8 \left( \cosh \frac{2\pi d}{L} \right)^6 + 1}{\left( \sinh \frac{2\pi d}{L} \right)^6} \quad (1-2)$$

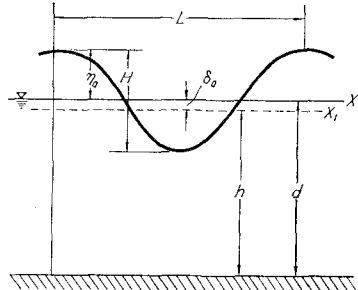


Fig. 1. Coordinate system

$$\text{又 } \theta \text{ は, } \theta = \frac{2\pi}{L} (x - ct) \quad (1-3)$$

で表わされ、波高  $H$  と  $a$  との関係は(2)式で表わされる。

$$H = 2a + 2 \frac{\pi^2 a^3}{L^2} \cdot f_3\left(\frac{d}{L}\right) \quad (2)$$

(2)式の両辺を  $L$  で割ると(2)式は(2-1)式のように書きかえられる。

$$\frac{H}{L} = 2\left(\frac{a}{L}\right) + 2 \cdot \pi^2 \left(\frac{a}{L}\right)^3 f_3\left(\frac{d}{L}\right) \quad (2-1)$$

波速の式は(3)式で表わされる。

$$c^2 = \frac{gL}{2\pi} \cdot \tanh \frac{2\pi d}{L} \left\{ 1 + \left( \frac{2\pi a}{L} \right)^2 \frac{\cosh \frac{8\pi d}{L} + 8}{8 \left( \sinh \frac{2\pi d}{L} \right)^4} \right\} \quad (3)$$

又、波速  $c$  と  $u$  方向への流速  $u$  との関係は、次式で表わされる。

$$\frac{u}{c} = F_1 \cosh \frac{2\pi s}{L} \cos \theta + F_2 \cdot \cosh \frac{4\pi s}{L} \cos 2\theta + F_3 \cdot \cosh \frac{6\pi s}{L} \cdot \cos 3\theta \quad (4)$$

ここで、 $s$ ,  $F_1$ ,  $F_2$ ,  $F_3$  はそれぞれ、 $a/L$ ,  $d/L$  の函数で次のように表わされる。

$$s = d + y|_{\theta=0} \quad (\eta = \eta_0 \text{ の時}) \quad (4-1)$$

\*: \*\* 北海道大学土木工学科

\*\*: \*\*\* 北海道大学工学部大学院

$$F_1 = \frac{2\pi a}{L} \cdot \frac{1}{\sinh \frac{2\pi d}{L}} \quad (4-2)$$

$$F_2 = \frac{3}{4} \left( \frac{2\pi a}{L} \right)^2 \frac{1}{\left( \sinh \frac{2\pi d}{L} \right)^4} \quad (4-3)$$

$$F_3 = \frac{3}{64} \left( \frac{2\pi a}{L} \right)^3 \frac{\left( 11 - 2 \cosh \frac{4\pi d}{L} \right)}{\left( \sinh \frac{2\pi d}{L} \right)^7} \quad (4-4)$$

### § 3. 田中の理論

田中によるストークス波理論では、座標を (Fig. 1) の  $x$  方向座標を  $X_1$  にとり、それぞれの式を求めた。

波形の式は(5)式で表わされる。

$$H = 2a_1 \left\{ 1 + \frac{3}{64} \left( \frac{2\pi a_1}{L} \right)^2 \left( 9 \cdot \coth^6 \frac{2\pi h}{L} + 13 \cdot \coth^4 \frac{2\pi h}{L} + 11 \cdot \coth^2 \frac{2\pi h}{L} + 1 \right) \right\} \quad (6)$$

又、波速の式は(7)式で表わされる。

$$c^2 = \frac{gL}{2\pi} \cdot \tanh \frac{2\pi h}{L} \left\{ 1 + \frac{1}{8} \left( \frac{2\pi a_1}{L} \right)^2 \left( 9 \cdot \coth^4 \frac{2\pi h}{L} - 6 \cdot \coth \frac{2\pi h}{L} + 5 \right) \right\} \quad (7)$$

Fig. 1 の座標系からもわかるように、田中の理論においては、 $x$  軸を平均水深より  $\delta_0$  だけ下方にとってあるため、実際の平均水深  $d$  は  $h + \delta_0$  に等しくなければならぬが、これから行なう計算はすべて、 $h$  を用いて計算を行ない、最後に平均水深に変換して、諸式の値と比較することにした。

この  $h$  を  $d$  に交換する場合には(8)式を用いる。

$$d = h + \frac{\pi a_1^2}{L} \cdot \coth \frac{h \cdot 2\pi}{L} \quad (8)$$

### § 4. Skjelbreia による第3近似ストークス波の碎波点の計算

波の碎波点では普通、水平方向の流速成分  $u$  の最大の点である波頂の流速  $u$  と、波速  $c$  が等しい時をもって碎波点と考える。つまり、碎波の条件式は(9)式をもって表わされる。

$$u|_{\eta=\eta_0} = c \quad (9)$$

Skjelbreia の理論による碎波点の計算では、(4)式の  $\cos \theta$  の項は(1-3)より

$$\begin{aligned} V &= \frac{2\pi}{\sinh \frac{2\pi d}{L}} \cdot \left( \frac{a}{L} \right) \cdot \cosh \left[ 2\pi \left\{ \left( \frac{d}{L} \right) + \left( \frac{a}{L} \right) + \pi \cdot f_2 \left( \frac{d}{L} \right) \cdot \left( \frac{a}{L} \right)^2 + \pi^2 \cdot f_3 \left( \frac{d}{L} \right) \cdot \left( \frac{a}{L} \right)^3 \right\} \right] \\ &+ \frac{3\pi^2}{\left( \sinh \frac{2\pi d}{L} \right)^4} \cdot \left( \frac{a}{L} \right)^2 \cdot \cosh \left[ 4\pi \left\{ \left( \frac{d}{L} \right) + \left( \frac{a}{L} \right) + \pi \cdot f_2 \left( \frac{d}{L} \right) \cdot \left( \frac{a}{L} \right)^2 + \pi^2 \cdot f_3 \left( \frac{d}{L} \right) \cdot \left( \frac{a}{L} \right)^3 \right\} \right] \\ &+ \frac{3}{8} \pi^3 \frac{11 - 2 \cosh \frac{4\pi d}{L}}{\left( \sinh \frac{2\pi d}{L} \right)^7} \cdot \left( \frac{a}{L} \right)^3 \cdot \cosh \left[ 6\pi \left\{ \left( \frac{d}{L} \right) + \left( \frac{a}{L} \right) + \pi \cdot f_2 \left( \frac{d}{L} \right) \left( \frac{a}{L} \right)^2 + \pi^2 \cdot f_3 \left( \frac{d}{L} \right) \cdot \left( \frac{a}{L} \right)^3 \right\} \right] = 0 \quad (13) \end{aligned}$$

この(13)式に  $(d/L)$  を与えて、(13)式を解けば、碎波時の  $(a/L)$  が求まり、最初に与えた  $(d/L)$  と碎波時の  $(a/L)$  を(2-1)式に代入すれば碎波時の  $(H/L)$  が計算できるわけである。

$$\begin{aligned} \eta_1 &= \frac{1}{2} \frac{2\pi a_1^2}{L} \cdot \coth \frac{2\pi h}{L} \\ &+ \left\{ 1 + \frac{3}{8} \left( \frac{2\pi a_1}{L} \right)^2 \cdot \tanh^2 \frac{2\pi h}{L} \right. \\ &\times \left. \left( 1 + 2 \cdot \coth^2 \frac{2\pi h}{L} \right) \right\} a_1 \cos \frac{2\pi x}{L} \\ &+ \left\{ \frac{1}{4} \frac{2\pi a_1}{L} \cdot \coth \frac{2\pi h}{L} \cdot \left( 3 \coth \frac{2\pi h}{L} - 1 \right) \right\} \\ &\times a_1 \cos^2 \frac{2\pi x}{L} \\ &+ \left\{ \frac{3}{64} \left( \frac{2\pi a_1}{L} \right)^2 \cdot \left( 3 \cdot \coth^2 \frac{2\pi h}{L} - 1 \right) \right. \\ &\times \left. \left( 3 \cdot \coth^4 \frac{2\pi h}{L} + 1 \right) \right\} a_1 \cos^3 \frac{2\pi x}{L} \quad (5) \end{aligned}$$

波高  $H$  と  $a_1$  との関係は次式で表わされる。

$$\cos \theta = \cos 2\theta = \cos 3\theta = 1$$

となり、(4)式は(10)式となる。

$$\begin{aligned} \frac{u}{c} &= F_1 \cdot \cosh \frac{2\pi}{L} (d + \eta_0) + F_2 \cdot \cosh \frac{4\pi}{L} (d + \eta_0) \\ &+ F_3 \cdot \cosh \frac{6\pi}{L} (d + \eta_0) = 1 \quad (10) \end{aligned}$$

又、(1)式も(9)式の条件から、次式のように書ける。

$$\eta_0 = a + \frac{\pi}{L} a^2 \cdot f_2 \left( \frac{d}{L} \right) + \left( \frac{\pi}{L} \right)^2 \cdot a^3 \cdot f_3 \left( \frac{d}{L} \right)$$

両辺を  $L$  で割ると(11)式が求まる。

$$\frac{\eta_0}{L} = \left( \frac{a}{L} \right) + \pi \left( \frac{a}{L} \right)^2 \cdot f_2 \left( \frac{d}{L} \right) + \pi^2 \left( \frac{a}{L} \right)^3 \cdot f_3 \left( \frac{d}{L} \right) \quad (11)$$

(11)式を  $(d + \eta_0)$  の形に書きかえると(12)式のようになる。

$$\begin{aligned} \frac{(d + \eta_0)}{L} &= \frac{d}{L} + \left( \frac{a}{L} \right) + \pi \left( \frac{a}{L} \right)^2 \cdot f_2 \left( \frac{d}{L} \right) \\ &+ \pi^2 \cdot \left( \frac{a}{L} \right)^3 \cdot f_3 \left( \frac{d}{L} \right) \quad (12) \end{aligned}$$

(12)式を(10)式に代入して整理すると(13)式が得られる。

$$\begin{aligned} \frac{(d + \eta_0)}{L} &= \frac{d}{L} + \left( \frac{a}{L} \right) + \pi \left( \frac{a}{L} \right)^2 \cdot f_2 \left( \frac{d}{L} \right) \\ &+ \pi^2 \cdot \left( \frac{a}{L} \right)^3 \cdot f_3 \left( \frac{d}{L} \right) \\ &+ \frac{3}{8} \pi^3 \frac{11 - 2 \cosh \frac{4\pi d}{L}}{\left( \sinh \frac{2\pi d}{L} \right)^7} \cdot \left( \frac{a}{L} \right)^3 \cdot \cosh \left[ 6\pi \left\{ \left( \frac{d}{L} \right) + \left( \frac{a}{L} \right) + \pi \cdot f_2 \left( \frac{d}{L} \right) \left( \frac{a}{L} \right)^2 + \pi^2 \cdot f_3 \left( \frac{d}{L} \right) \cdot \left( \frac{a}{L} \right)^3 \right\} \right] = 0 \quad (13) \end{aligned}$$

(13) 式を解く手順は  $(d/L)$  を、まず与え、それから、碎波点の近くと思われる  $(a/L)_i$  の値を入れてやり、 $V_i$  を計算し、その次に  $(a/L)_i$  に  $A(a/L)$  だけずらした値  $(a/L)_{i+1}$  を入れて、 $V_{i+1}$  を計算し、 $V_i \times V_{i+1} \leq 0$  になったら、解は  $(a/L)_i$  と  $(a/L)_{i+1}$  の間にあることになる。この  $A(a/L)$  をさらに小さく分けて、同様の計算を行ない、必要な精度の解が出るまで、これをくり返すわけである。

このようにして得られた碎波限界を Fig. 2, Fig. 3 に示す。Fig. 2, Fig. 3 から明らかなように、 $d/L > 0.19$  では  $H/L \approx 0.12$  となり、 $d/L < 0.15$  になると、波高水深比 ( $H/d$ )

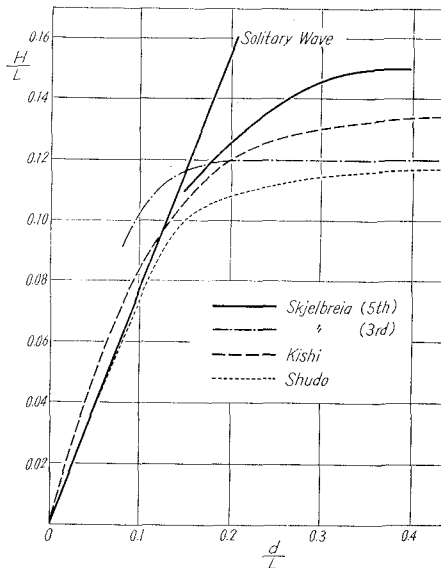


Fig. 2. Breaking Point of Stokes Wave

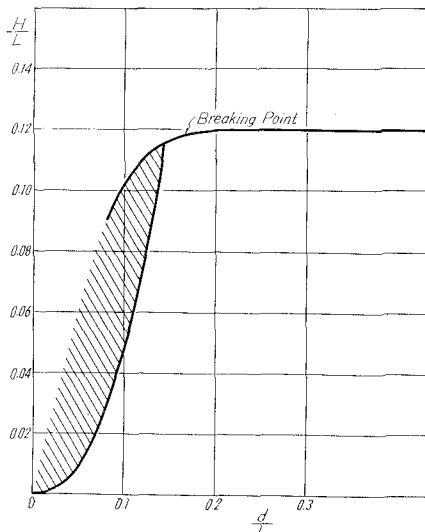


Fig. 3. Inflection point of Skjelbreia's Theory

が Solitary wave の碎波限界である  $(H/d) \approx 0.78$  より大きくなる。

この計算は  $(d/L) = 0.08$  まで行なわれたが、過去に行なわれた実測値とますます離れる傾向にあるため、計算をストップした。 $(d/L)$  が小さくなるにつれて、実験値と離れてゆくが、これは、解の収束が  $(d/L)$  が小さくなるにつれ悪くなることを示している。これについては、次節で述べることにする。

過去に計算された、ストークス波理論の碎波限界値を Fig. 2 に示す。Fig. 2 には、Skjelbreia の第3、第5近似理論により求めた値、岸が求めた値、等が示されている。Fig. 2 には示していないが、第3近似理論は  $d/L > 0.2$  では、実験値とよく一致しているが、また、岸によって計算された第5次近似理論に較べて、少し小さい値を示している。また  $(d/L)$  が大きくなるにつれて、首藤の解に近づいて行くようである。

ここに示されている、Skjelbreia の第3及び第5近似理論は、ともに同じ方法で解を求めたものであるが、碎波限界の値には、かなりの違いが見られるが、近似度が高いからといって、より実測値に近い値を示すとは限らないようである。

なお、ストークス波の碎波限界の計算は、この他にも浜田・佐藤等により計算されているがここでは省くこととする。ともかく、碎波限界は最高波を意味するものであるから、理論の upper limit を示すものである。

## § 6. Inflection point の発生限界

ストークス波理論の誘導の過程で、速度ポテンシャルや流関数等を級数として、その最初の数項をとり、その係数を決定する。

このようにストークス波の理論は微小振幅波以外の、他の波の理論と同じく、解析的には解が得られないで、近似解として級数解とする。しかし、この級数解も無限項までとるべきであろうが、その最初の数項までしかとらないため、ある範囲を越えると、ストークス波の条件を満さないことになる。

ストークス波は Permanent type の波であるが、波高、波長、水深の関係がある限度を越えると、波形の谷間の部分に小さな小山 Inflection point ができる。これは permanent type の波の条件を満たしていないことになる。この原因は級数解が収束しきっていないことを示すものであり、とりもなおさず、Inflection point の発生限界が、一応、理論の限界を示すものであり、級数解の型の良否を判断する手段となる。

ここで Skjelbreia の理論と、田中の理論の Inflection point 発生限界を求めてみる。

## 1) Skjelbreia の理論による第3近似ストークス波の Inflection Point の発生点の計算

Inflection point とは、波の谷に小山ができるのであるから、 $\pi/2 < \theta < \pi$  の範囲で波の勾配  $\partial\eta/\partial x$  が  $\partial\eta/\partial x \geq 0$  になっているところで、Inflection point が発生していることになる。波形は(1)式で表わされるが、ここで  $t=0$  とおくと(14)式となる。

$$\begin{aligned}\eta = a \cdot \cos \theta + \pi \cdot \frac{a^2}{L} \cdot f_2\left(\frac{d}{L}\right) \cdot \cos 2\theta \\ + \left(\frac{\pi}{L}\right)^2 a^2 f_3\left(\frac{d}{L}\right) \cos 3\theta\end{aligned}\quad (14)$$

(14)式の  $\theta$  を  $\theta = 2\pi x/L$  とおき、 $x$  で微分して勾配を求める(15)式が求まる。

$$\begin{aligned}\frac{\partial\eta}{\partial x} = -2\pi\left(\frac{a}{L}\right) \cdot \sin \theta - 4\pi^2\left(\frac{a}{L}\right)^2 \cdot f_2\left(\frac{d}{L}\right) \cdot \sin 2\theta \\ - 6\pi^2 f_3\left(\frac{d}{L}\right) \left(\frac{a}{L}\right)^3 \cdot \sin 3\theta\end{aligned}\quad (15)$$

ここで(2-1)式を変形すると(16)式を得る。

$$\left(\frac{a}{L}\right)^3 + \frac{1}{\pi^2 f_3\left(\frac{d}{L}\right)} \left(\frac{a}{L}\right) - \frac{1}{2\pi^2 f_3\left(\frac{d}{L}\right)} \cdot \frac{H}{L} = 0\quad (16)$$

この(16)式は正の実根を1個持ち、他の2根は虚根となる。この式を Cardano の方法で解くと、

$$P = \frac{1}{3\pi^2 \cdot f_3\left(\frac{d}{L}\right)}, \quad Q = -\frac{1}{2\pi^2 \cdot f_3\left(\frac{d}{L}\right)} \times \frac{H}{L}$$

とおいて、 $a/L$  は(17)式で求まる。

$$\begin{aligned}\frac{a}{L} = \left[ \frac{1}{2} (-Q + \sqrt{Q^2 + 4P^3}) \right]^{1/3} \\ + \left[ \frac{1}{2} (-Q - \sqrt{Q^2 + 4P^3}) \right]^{1/3}\end{aligned}\quad (17)$$

(17)式で求められた  $(a/L)$  を(15)式に代入し、最初に与えた  $(d/L)$  を与えて、 $\theta$  を  $\pi/2 < \theta < \pi$  の間で変化させて、 $\partial\eta/\partial x$  を計算し、 $\partial\eta/\partial x \geq 0$  の点が存在するかどうかを判定させる。この計算結果を Fig. 3 に示す。

ここで、この Inflection point の発生点の Ursell の Parameter を(18)式を用いて計算し、これの比較も行なうこととした。なお、 $\eta_0/L$  は(11)式を用いて計算を行なった。

$$(\eta_0/L)(L/d)^3 \quad (18)$$

## 2) 田中の理論による Inflection point 発生点の計算

田中の Inflection point の計算も Skjelbreia の計算方法と全く同じ方法で計算される。

(5)式を  $x$  で微分すると、(19)式が求まる。

$$\begin{aligned}\frac{\partial\eta_1}{\partial x} = -\left\{1 + \frac{3}{2}\pi^2\left(\frac{a_1}{L}\right)^2 \cdot \tanh \frac{2\pi h}{L}\right. \\ \left.\times \left(1 + \coth^2 \frac{2\pi h}{L}\right)\right\} \cdot \frac{a_1}{L} \cdot 2\pi \cdot \sin \theta \\ - 2\pi^2\left(\frac{a_1}{L}\right)^2 \cdot \coth \frac{2\pi h}{L} \left(3 \cdot \coth^3 \frac{2\pi h}{L} - 1\right).\end{aligned}$$

$$\begin{aligned}\times \sin 2\theta - \frac{9}{8}\left(\frac{a_1}{L}\right)^3 \left(3 \cdot \coth^2 \frac{2\pi h}{L} - 1\right) \\ \times \left(3 \cdot \coth^4 \frac{2\pi h}{L} + 1\right) \sin 3\theta\end{aligned}\quad (19)$$

ここで(6)式の両辺を  $L$  で割り(20)式とする。

$$\begin{aligned}\frac{H}{L} = 2 \cdot \frac{a_1}{L} \left\{1 + \frac{3}{64} \left(\frac{2\pi a_1}{L}\right)^2 \left(9 \cdot \coth^6 \frac{2\pi h}{L}\right.\right. \\ \left.\left.+ 13 \cdot \coth^4 \frac{2\pi h}{L} + 11 \cdot \coth^2 \frac{2\pi h}{L} + 1\right)\right\}\end{aligned}\quad (20)$$

(20)式に  $H/L$ ,  $h/L$  を与えて、Cardano の方法により三次方程式を解き  $a_1/L$  を求め、(19)式に代入して、 $\theta$  を  $\pi/2 < \theta < \pi$  まで変化させ、 $\partial\eta_1/\partial x$  の正、負より、Inflection point の発生限界を求めた。

この結果は Fig. 4 に示す。

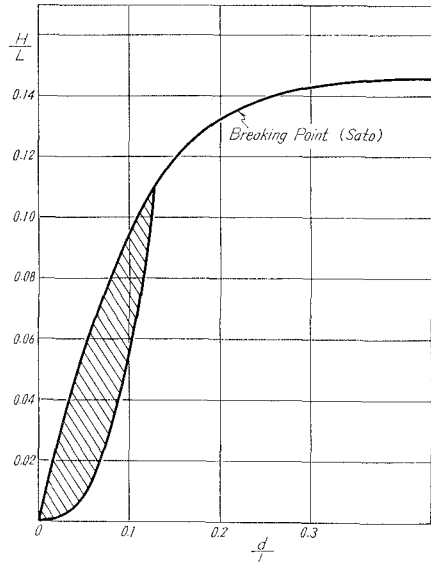


Fig. 4. Inflection point Tanaka's Theory

(7)式より、 $L/L_0$  を求めると次式で表わされる。

$$\begin{aligned}\frac{L}{L_0} = \frac{2\pi L}{g T^2} = \frac{2\pi}{g} \cdot \frac{c^2}{L} \\ = \tanh \frac{2\pi h}{L} \left\{1 + \frac{1}{8} \left(\frac{2\pi a_1}{L}\right)^2\right. \\ \left.\times \left(9 \coth^4 \frac{2\pi h}{L} - 6 \coth^2 \frac{2\pi h}{L} + 5\right)\right\}\end{aligned}\quad (21)$$

(19)式を解いて得られた Inflection point の発生限界の値  $(h/L)$  を(8)式により  $(d/L)$  に変換し、(21)式を用いて  $(d/L_0)$ ,  $(H/L_0)$  を計算して図化したのが Fig. 5 である。

この Inflection point が3個という意味は、波の谷の凹が1個と、 $\theta=\pi$  を軸として、その両側に1個ずつ対称に Inflection point が発生していることである。Inflection point が1個ということは、谷の凹以外には、波谷部に凸凹がないことを示している。

Fig. 5 から明らかなように、発生限界は両対数グラフに

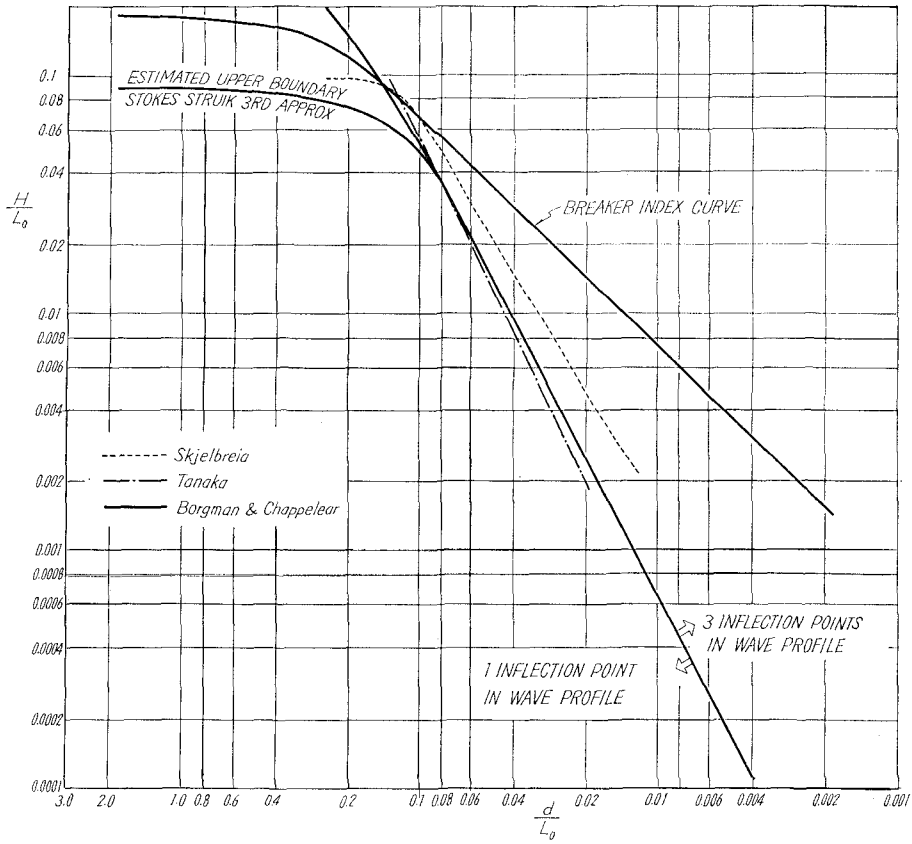


Fig. 5. Limit of Inflection Point

直線で示されているが、破線が Skjelbreia の第3近似ストークス波の理論で計算されたものであり、一点鎖線は田中の理論から求めたものである。実線は Borgman と Chappellear により求めたものである。ストークス波の収束性の目安を、この Inflection point の発生限界とするならば、上に述べた3つの理論を比較すると、適用領域の広さからいうと、Skjelbreia, Borgman & Chappellear, 田中の理論の順に、解の収束が悪くなっていることがわかる。

この Inflection point の発生限界と、碎波限界を同時に示したのが Fig. 3, Fig. 4 で、これは  $H/L$  と  $d/L$  を示してある。この  $H/L$ ,  $d/L$  で表わすと Skjelbreia の理論、田中の理論より求めた、Inflection point の発生限界は、Fig. 5 に示すほどは違っていないようである。

Fig. 3 の Skjelbreia の方は、前節に述べたように、碎波限界を計算し、その値を使っているが、Fig. 4 の田中の理論の方は、まだ碎波限界の計算を行なっていないので、一応、佐藤の理論による碎波限界を用いているが、近いうちに田中の理論の碎波限界を求める積りである。

この Fig. 3, Fig. 4 に示されている斜線の部分が Inflection point の発生点である。

以上の結果から、Skjelbreia および田中によるストーク

ス波理論の、理論的な適用限界は、碎波限界の内側で、Inflection point の発生限界の外側の領域である。

これは、あくまでも、ストークス波理論の、理論が妥当である領域であって、実測値と一致する領域とは必ずしも一致していないはずである。ストークス波理論値を実測値と比較し、その適用限界を調べたが、これについては後で述べることにする。

Wilson-Webb-Hendrickson は、Ursell の parameter ( $\eta_0 L^2/d^3$ ) を用いて波を分類している。

確かに、波を分類するには、単純にはいかないが、 $H$ ,  $L$ ,  $d$  の3つの緒元を含んでいる Ursell の parameter の値が Inflection point の発生限界でいかなる値を持つか計算してみよう。

この計算は(18)式によって求められた。この Ursell の parameter の Inflection point 発生限界の最小値は、Skjelbreia の第3近似ストークス波理論では  $\eta_0 L^2/d^3 \cong 26.7$  であり、田中の理論の最小値は  $\eta_0 L^2/d^3 \cong 24.8$  である。

## § 7. 波頂高について

波は海岸に近づくにつれて、その波高が増し、波長が短くなり、また、 $\eta_0/H$  の値が大きくなる。また、この  $\eta_0$

(波頂高) は、海上工事、構造物の設計等にも、重要な波の諸元である。ここでは、Skjelbreia の第3近似ストークス波理論と田中の理論を用いて、波頂高の計算を行ない、その計算結果を岸の求めた Skjelbreia の第5近似ストークス波理論の波頂高と我々の行なった実験値と比較を行なった。

### 1) Skjelbreia の理論による波頂高の計算

(1) 式より波頂高は  $\theta = 0$  であるから  $\cos \theta = \cos 2\theta = \cos 3\theta = 1$  となり次式で表わされる。

$$\eta_0 = a + \pi \cdot \frac{a^2}{L} f_2 \left( \frac{d}{L} \right) + \pi^2 \frac{a^3}{L^2} f_3 \left( \frac{d}{L} \right)$$

上式の両辺を  $H$  で割ると

$$\frac{\eta_0}{H} = \frac{a}{H} + \pi \frac{a^2}{H \cdot L} f_2 \left( \frac{d}{L} \right) + \pi^2 \frac{a^3}{H \cdot L^2} f_3 \left( \frac{d}{L} \right) \quad (22)$$

(22) 式は (23) 式のように書きかえられる。

$$\begin{aligned} \frac{\eta_0}{H} &= \frac{a/L}{H/L} + \pi \left( \frac{a}{L} \right)^2 \frac{1}{H/L} f_2 \left( \frac{d}{L} \right) \\ &\quad + \pi^2 \left( \frac{a}{L} \right) \frac{1}{H/L} f_3 \left( \frac{d}{L} \right) \end{aligned} \quad (23)$$

ここで (2) 式を次式のように変形する。

$$\left( \frac{a}{L} \right)^3 + \frac{1}{\pi^2 F_3} \left( \frac{a}{L} \right) - \frac{1}{2\pi^2 F_3} \left( \frac{H}{L} \right) = 0 \quad (24)$$

(24) 式に  $H/L$  と  $d/L$  を与え Cardano の方法で  $a/L$  を求め (23) 式に  $a/L$ ,  $H/L$  を代入すると  $\eta_0/H$  が求まる。

ここで

$$\begin{aligned} L_0 &= \frac{g T^2}{2\pi} = \frac{g}{2\pi} \cdot \frac{L^2}{c^2} \text{ より} \\ \frac{L}{L_0} &= \frac{2\pi c^2}{gL} = \tanh \frac{2\pi d}{L} \\ &\times \left[ 1 + 4\pi^2 \left( \frac{a}{L} \right)^2 \frac{\cosh \frac{8d\pi}{L} + 8}{8 \left( \sinh \frac{2\pi d}{L} \right)^4} \right] \end{aligned} \quad (25)$$

$$\begin{aligned} \eta_0 &= \frac{\pi a_1^2}{L} \cdot \coth \frac{2\pi h}{L} + \left\{ 1 + \frac{3}{2} \cdot \left( \frac{\pi a_1}{L} \right)^2 \cdot \tanh \frac{2\pi h}{L} \left( 1 + 2 \cdot \coth^2 \frac{2\pi h}{L} \right) \right\} \cdot a_1 \\ &\quad + \frac{\pi}{2} \cdot \frac{a_1^2}{L} \cdot \coth \frac{2\pi h}{L} \left( 3 \cdot \coth^2 \frac{2\pi h}{L} - 1 \right) + \frac{3}{16} \cdot \frac{a_1^3}{L^2} \left( 3 \cdot \coth^2 \frac{2\pi h}{L} - 1 \right) \left( 3 \cdot \coth^4 \frac{2\pi h}{L} + 1 \right) \end{aligned} \quad (28)$$

波頂高  $\eta_0/H$  は (29) 式で表わされる。

$$\begin{aligned} \frac{\eta_0}{H} &= \pi \left( \frac{a_1}{L} \right)^2 \frac{1}{H/L} \cdot \coth \frac{2\pi h}{L} + \left\{ 1 + \frac{3}{2} \pi^2 \cdot \left( \frac{a_1}{L} \right)^2 \tanh \frac{2\pi h}{L} \left( 1 + 2 \cdot \coth \frac{2\pi h}{L} \right) \right\} \left( \frac{a_1/L}{H/L} \right) \\ &\quad + \frac{\pi}{2} \left( \frac{a_1}{L} \right)^2 \frac{1}{H/L} \coth \frac{2\pi h}{L} \left( 3 \cdot \coth^2 \frac{2\pi h}{L} - 1 \right) \end{aligned} \quad (29)$$

ここで  $H$  と  $a_1$  の関係を次式のように表わし

$$H = 2 \left\{ 1 + \frac{3}{64} \left( \frac{2\pi a_1}{L} \right)^2 \left( 9 \cdot \coth^6 \frac{2\pi h}{L} + 13 \coth^4 \frac{2\pi h}{L} + 11 \cdot \coth^2 \frac{2\pi h}{L} - 1 \right) \right\} a_1 \quad (30)$$

(27) 式の両辺を  $L$  で割り、 $a_1/L$  の3次式の型に変形して Cardano の方法で  $a_1/L$  を求め、 $a_1/L$  とその時の  $h/L$  を (29) 式に代入することによって、波頂高  $\eta_0/H$  が求まる。

又、水深-波長比  $d/L_0$  と波高-波長比  $H/L_0$  は次式で求まる。

となり  $\eta_0/H$  を求めた時の  $d/L$ ,  $a/L$  を代入し、 $L/L_0$  を求める。 $d/L_0$ ,  $H/L_0$  はそれぞれ次式で求まる。

$$\frac{d}{L_0} = \frac{d}{L} \cdot \frac{L}{L_0} \quad (26)$$

$$\frac{H}{L_0} = \frac{H}{L} \cdot \frac{L}{L_0} \quad (27)$$

この計算結果は Fig. 6 に示す。

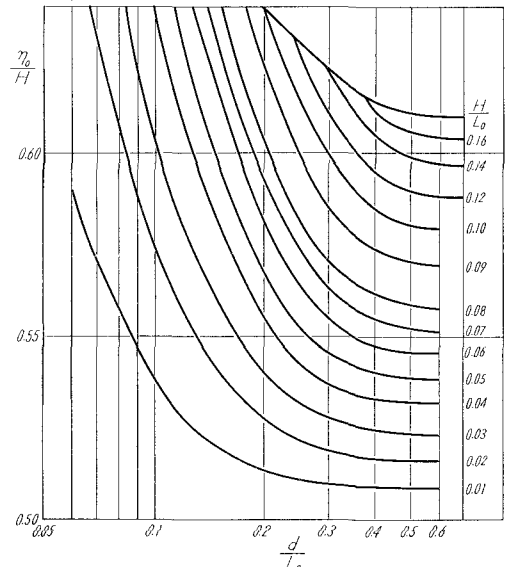


Fig. 6. Ratio of Crest Elevation above Still Water to Wave Height (Skjelbreia)

### 2) 田中の理論による波頂高の計算

田中の理論の波頂高の式は (5) 式より

$$\cos \theta = \cos 2\theta = \cos 3\theta = 1$$

であるから、(28) 式が求まる。

$$\begin{aligned} \eta_0 &= \frac{\pi a_1^2}{L} \cdot \coth \frac{2\pi h}{L} + \left\{ 1 + \frac{3}{2} \cdot \left( \frac{\pi a_1}{L} \right)^2 \tanh \frac{2\pi h}{L} \left( 1 + 2 \cdot \coth \frac{2\pi h}{L} \right) \right\} \cdot a_1 \\ &\quad + \frac{\pi}{2} \cdot \frac{a_1^2}{L} \cdot \coth \frac{2\pi h}{L} \left( 3 \cdot \coth^2 \frac{2\pi h}{L} - 1 \right) + \frac{3}{16} \cdot \frac{a_1^3}{L^2} \left( 3 \cdot \coth^2 \frac{2\pi h}{L} - 1 \right) \left( 3 \cdot \coth^4 \frac{2\pi h}{L} + 1 \right) \end{aligned} \quad (28)$$

$$\frac{d}{L_0} = \frac{d}{L} \cdot \frac{L}{L_0} \quad (31)$$

$$\frac{H}{L_0} = \frac{H}{L} \cdot \frac{L}{L_0} \quad (32)$$

ただし、田中の理論では  $L/L_0$  は次式の関係で表わされている。

$$\frac{L}{L_0} = \tanh \frac{2\pi h}{L} \left\{ 1 + \frac{1}{8} \left( \frac{2\pi}{L} \right)^2 \left( \frac{a_1}{L} \right)^2 \times \left( 9 \cdot \coth^4 \frac{2\pi h}{L} - 6 \cdot \coth^2 \frac{2\pi h}{L} + 5 \right) \right\}$$

ここで田中の理論の計算結果を、(8)式を用いて  $h$  を平均水深  $d$  に変換し、その値を Fig. 7 に示す。

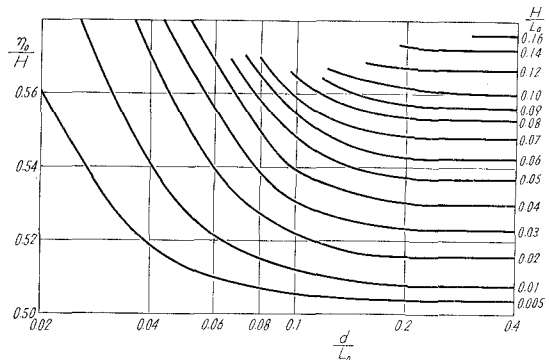


Fig. 7. Ratio of Crest Elevation above Still Water to Wave Height (Tanaka)

Fig. 6, Fig. 7 を比較すると、波頂高の値は、Skjelbreia の第3近似 Stokes 波理論で求めた値の方が、田中の式で求めた値より大きくなっている。 $(d/L_0)$  が小さくなるにつれて、また、 $(H/L_0)$  が大きくなるにつれて、その差は大きくなる。第5次近似の Stokes 波理論による波頂高の計算は、すでに岸によってなされているが、その値と比較すると碎波点近傍では  $(\eta_0/H)$  の値が異なっているが、 $(H/L_0)$  が小さくなる時は、第3近似理論と全く同じであると言つてさしつかえないようである。その値を Fig. 8 に示す。波頂高の実験値と Skjelbreia の第3近似 stokes 波の波頂高の理論値との比較は、前論文 “クノイド波の二・三の特性

と適用限界について” の Fig. 8 の (a)~(h) に示されている。この実験値との比較図によると (a) 図の  $(H/L_0) = 0.1$  の場合には、この Stokes 波理論は実測値とかなり良く一致している。また (b) 図は  $(H/L_0) = 0.08$  であるが、この時は、 $(d/L_0) > 0.3$  位までは、よく理論値と一致している。(c) 図は  $(H/L_0) = 0.06$  であるが、この場合も  $(d/L_0) > 0.3$  の範囲では、Stokes 波理論に一致しているようである。また  $(H/L_0) = 0.04$  の時もその傾向がある。以上の事から判断して、Skjelbreia の第3近似理論は  $(d/L_0) > 0.3$  の範囲では実測値とかなりよく一致していることがわかる。この波頂高から一応 Stokes 波の適用限界は、 $(d/L_0) > 0.3$  であることが解ったが、適用限界は  $(d/L_0)$  のみならず、波高との関連もあるはずであるが、この実験からは、はっきりしなかった。岩垣博士は実験結果から、Stokes 波の適用限界を  $T \cdot \sqrt{g/d} < 10$  と定めているが、これを書き直すと次の如くなる。

$$T \cdot \sqrt{g/d} < 10 \text{ から逆数をとり 2乗すると } \\ d/gT^2 > 1/100 \text{ となり、我々の表示と同じようにとると } \\ 2\pi d/gT^2 = d/L_0 > 6.28/100$$

よって  $(d/L_0) > 0.628$  となる。これは我々の実験値からすると、少々適用限界がゆるすぎる様であるが、 $(\eta_0/H)$  の測定には、かなりの誤差があることも考えられるので、一概には言えないようである。波頂高の実験から、Stokes 波の適用限界を定めるためには、より精度の高い実験が行なわなければならない。前に第3と第5近似の Stokes 波の波頂高の計算値はよく一致していることを述べたが、この第5近似理論の波頂高と Bretschneider が求めた波頂高の比較が、支部技術資料 21 号に示されているので御参照願いたい。

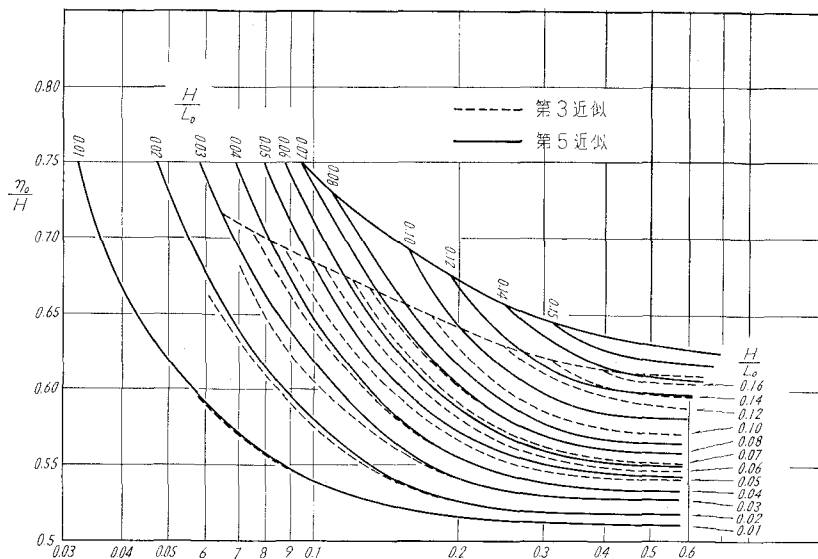


Fig. 8. 第3近似と第5近似の波長高

## 結 論

1. Skjelbreia の第3近似 Stokes 波理論の碎波点は、 $(d/L) > 0.19$  の範囲では  $(H/L) \approx 0.12$  となり、 $(d/L) < 0.15$  では  $(H/d) > 0.78$  となる。また第5近似 Stokes 波理論とを比較すると  $(d/L) > 0.18$  では第5近似理論の  $(H/L)$  の方が大きく、 $(d/L) < 0.18$  では、その逆で、どちらが実測値に近いかは明白でない。

2. 解の収束の良否の判定条件の一つと思われる Inflection point の発生限界の計算を、Skjelbreia の第3近似理論・田中の理論で計算を行ない、Borgman 等が計算したものと比較した結果、Skjelbreia, Borgman-Chappelear, 田中の理論の順に収束が早いと思われる。また碎波限界と Inflection point 発生限界の線で囲まれる領域が、理論から求まる適用の限界と思われ、その領域を図示した。この適用範囲は、理論と実測値の適合度から求まる適用範囲とは別である。

3. Inflection point の発生限界の最小値は、Skjelbreia の理論では  $(\eta_0 L^2/d^3) \approx 26.7$  であり、田中の理論では  $(\eta_0 L^2/d_3) \approx 24.8$  であった。

4. 波頂高は、Skjelbreia の第3近似 Stokes 波理論の方が田中の理論より  $(\eta_0/H)$  は大きい。また第5近似、第3近似理論を比較すると、 $(H/L_0)$  が大きくなると、第5近似理論の方が、第3近似よりも  $(\eta_0/H)$  の値が大きくなっているが、 $(H/L_0)$  が小さな時は、両理論共殆んど一致している。

5. 実測値に対する Skjelbreia の第3近似理論の適用限界は、前論文の Fig. 4 の波速から判断すると  $(d/L) > 0.25$  でほぼ実測値と一致している様であるが、また波頂高からその適合度を調べると  $(d/L_0) > 0.3$  の範囲では、よく実測値と一致している様である。この Stokes 波理論の適用限界については、理論的に Laitone, Keulegan により与えられているが、未だ明確なる解答はでていない。岩垣は、実験結果から Stokes 波の適用限界を  $T \cdot \sqrt{g/d} < 10$  と定めているが、これを  $(d/L_0)$  に換算すると  $(d/L_0) > 0.0628$  となる。この適用限界は、我々の実験値から判断すると、少し広すぎるようである。

後記； Stokes 波の適用限界を明確にする積りであったが、実験装置の不備と、限界付近では波形勾配がゆるいために、計測の精度が落ちた為、概略の適用限界を与えるに止った。尚計算には、北大計算センターの NEAC-2203G 及び、HIPAC-103 を用いた。

## 参 考 文 献

- 岸 力：進行波の碎波限界、建設省土木研究所報告、1954年、91-4.
- 首藤伸夫：高次級数解による進行波の碎波限界：施設省土木研究所報告、1961年、111-4.
- 岩垣雄一：Stokes 波とクノイド波の適用限界について、第14回海岸工学講演会講演集、1967.
- 岩垣雄一：クノイド波に関する研究(第一報)、京大防災研究所年報7号、1964.
- 岸 力・佐伯 浩：クノイド波に関する研究、第11回海岸工学講演会講演集、1964.
- 岸 力・佐伯 浩・石田昌寿：有限振幅波の性質について、土木学会北海道支部技術資料、第21号、1965.
- 田中 清：海の波の解析概論、海岸工学講演会講演集、1955.
- Skjelbreia, L.: Gravity Waves, Stokes Third order Approximation Table of Functions. Council of Wave Research, the Engineering Foundation 1959.
- Skjelbreia, L. and Hendrickson, J. A. [1960]: Fifth order Gravity Wave Theory. Proc. 7th Conf. on Coastal Eng. Vol. 1.
- Wilson, B. W., L. M. Webb and J. A. Hendrickson: the Nature of Tsunami. NESCO Tech. Rept. No. SN 57-2 (1962).
- Borgman, L. E. and Chappelear: The use of the Stokes-Struik approximation for wave of finite height. Proc. 6th Conf on Coastal Eng.
- Laitone, E. V.: Limiting Conditions for Cnoidal and Stokes Wave. Jour. of Geophysical Research Vol. 67, No. 4, 1962.
- Sato, S.: Surface Wave in Shallow Water. Jour. of Research, Public Works Research Institute Vol. 1, Paper No. 2, 1954.